

ارائه روشی برای محاسبه صفر ارتفاعی بر مبنای مدل‌سازی محلی میدان گرانی با استفاده از تابع‌های پایه شعاعی، بررسی موردنی: تعیین صفر ارتفاعی شبکه ترازیابی درجه یک ایران

عبدالرضا صفری^۱، محمدعلی شریفی^۲، اسماعیل فروغی^{۳*} و هادی امین^۳

^۱دانشیار، گروه مهندسی نقشه‌برداری، پردیس دانشکده‌های فنی دانشگاه تهران، ایران

^۲استادیار، گروه مهندسی نقشه‌برداری، پردیس دانشکده‌های فنی دانشگاه تهران، ایران

^۳دانشجوی کارشناسی ارشد ژئودزی، گروه مهندسی نقشه‌برداری، پردیس دانشکده‌های فنی دانشگاه تهران، ایران

(دریافت: ۹۲/۶/۲، پذیرش نهایی: ۹۲/۱۱/۱۵)

چکیده

مبناهای سامانه‌های ارتفاعی محلی و منطقه‌ای، سطح متوسط دریا در کشنندن‌های مرجع است. با توجه به انطباق نداشتن سطح متوسط دریا و ژئوئید، و همچنین لزوم یکسان‌سازی شبکه‌های ارتفاعی، در این مقاله روشی برای محاسبه صفر ارتفاعی، براساس مدل‌سازی میدان گرانی با استفاده از مشاهدات گرانش و ارتفاع‌سنگی ماهواره‌ای عرضه شده است. در این روش برای مدل‌سازی محلی میدان گرانی زمین ازتابع‌های پایه شعاعی استفاده و ارتفاع شبکه ژئوئید در پیمانه کشندی (تاییدگیج) مینا محاسبه می‌شود. این پیمانه کشندی در بندر عباس واقع شده است که در واقع با معلوم بودن ارتفاع شبکه ژئوئید در آن، صفر ارتفاعی شبکه ترازیابی ایران قابل محاسبه خواهد بود. از جمله مزیت‌های روش پیشنهادی می‌توان به استفاده از داده‌های ارتفاع‌سنگی ماهواره‌ای، حذف اثر جهانی گرانی با استفاده از مدل ژئوپتانسیل EGM2008 تا درجه و مرتبه ۳۶۰ و استفاده از تابع‌های پایه شعاعی برای مدل‌سازی محلی نام برد. روش پیشنهادی برای تعیین موقعیت صفر ارتفاعی شبکه ترازیابی درجه ۱ ایران نسبت به ژئوئید به کار رفته است، براساس نتایج حاصل، صفر ارتفاعی شبکه ترازیابی درجه یک ایران ۰/۲۱۶ متر زیر ژئوئید قرار دارد.

واژه‌های کلیدی: سطح متوسط دریا، صفر ارتفاعی، تابع‌های پایه شعاعی، یکسان‌سازی مبنای ارتفاعی، شبکه ژئوئید

An approach to height datum unification based on local gravity field modeling using radial base function, case study: height datum unification of leveling network of class 1 in Iran

Safari, A.¹, Sharifi, M. A.², Foroughi, I.³ and Amin, H.³

¹Associate Professor, Department of Surveying and Geomatics Engineering, University College of Engineering, University of Tehran, Iran

²Assistant Professor, Department of Surveying and Geomatics Engineering, University College of Engineering, University of Tehran, Iran

³M.Sc. student of Geodesy, Department of Surveying and Geomatics Engineering, University College of Engineering, University of Tehran, Iran

(Received: 24 Aug 2013, Accepted: 04 Feb 2014)

Summary

One of the most important problems in geodesy is the unification of height datum. Generally in geodesy; there are two types of height systems, the geometrical height based on ellipsoid and the physical height based on gravity-defined surface (Zhang et al, 2009). Local height datum is determined according to Mean Sea Level (MSL). In regarding to

mismatch of mean sea level and geoid, on the one hand, and height datum unification requirement on the other hand, this paper defines an approach to height datum determination of Iran based on local gravity field modeling. Although there are so many algorithms to local gravity field modeling, the radial base functions (RBF) is one of the well known methods to precise local gravity field modeling using variety of data sets. Two groups of data sets, gravity acceleration observation and satellite altimetry data, are used in this paper, to determine the quasi geoid height at reference tide gauge; then the height reference of leveling network can be calculated.

According to Runge-Kutta algorithm, potential anomaly on the earth can be defined as following:

$$T(x) = \sum_{i=1}^{\infty} \alpha_i \Phi_i(x)$$

Where α_i the expansion coefficients are (scale coefficients) and Bjerhammar sphere is a sphere with radius R, which is entirely inside the topographic masses of the earth, Φ_i are the set of radial basis functions with following representation:

$$\Phi(x, y) = \sum_{k=0}^{\infty} \frac{2k+1}{4\pi R^2} \psi_l \left(\frac{R}{|x|} \right)^{k+1} P_k \left(\frac{x}{|x|} \cdot \frac{y}{|y|} \right)$$

Where y, x are points inside and outside of the Bjerhammar respectively, P_k is the Legendre polynomial function of degree k and ψ_l are the Legendre coefficients, the point y is called the centre of the RBF.

As we can see Radial Base Functions (RBF) have some unknown parameters that should be determined precisely: the location of RBF center, shape (depth parameter) and scale coefficient. If these parameters are selected correctly we could have good representation of potential anomaly field. Examples of linear functionals used in local gravity field modeling are gravity anomalies Δg and gravity disturbances δg . After linearization and spherical approximation, these functionals are related to the potential anomaly as

$$\Delta g = -\frac{2}{r} T - \frac{\partial T}{\partial r} \quad \delta g = -\frac{\partial T}{\partial r}$$

We used Poisson-wavelet as RBF kernel, which is defined as follows:

$$\Phi(x, y) = \frac{1}{4\pi R^2} (2\chi_{n+1} + \chi_n) \quad \chi_n = \left(|y| \frac{\partial}{\partial |y|} \right)^n \frac{1}{|x-y|}$$

Where n is the order of Poisson wavelet kernel, || is the operator norm.

Significant points in this paper are: precise positioning of the reference bench mark point by GPS system, calculation of geoid height of reference bench mark using both geodetic and orthometric heights by leveling method, quasi geoid height determination using potential anomaly value at bench mark and convert it to geoid height and finally height datum unification using comparison of the leveling height and the height from local gravity field modeling.

Keywords: Mean sea level, Height datum unification, Radial base Function, Quasi geoid

۱ مقدمه

هندسی با سطح بیضوی در حکم سطح مرجع و سامانه های ارتفاعی فیزیکی با سطح تعریف شده بر مبنای پتانسیل گرانی به منزله سطح مرجع (زانگ و همکاران، ۲۰۰۹).

یکی از مشکلات اساسی در دانش ژئودزی ایجاد یک سامانه ارتفاعی مرجع است. در ژئودزی به طور عمده دو دسته از سامانه های ارتفاعی وجود دارد، سامانه ارتفاعی

تعیین وضعیت صفر ارتفاعی نسبت به ژئوئید و همچنین مستانه یکسان‌سازی داده‌های ارتفاعی از سوی گروه‌های تحقیقاتی متعددی مورد بررسی قرار گرفته است که از جمله فعالیت‌های صورت گرفته در این زمینه می‌توان به پژوهش‌های زیر اشاره کرد: (فلدرستون، ۱۹۹۸، ۲۰۰۰ و ۲۰۰۲؛ رپ، ۱۹۸۰، ۱۹۹۴ و ۱۹۹۵؛ اردلان و صفری، ۲۰۰۵؛ هیکین، ۲۰۰۲؛ بوشا و همکاران، ۲۰۰۱؛ دنیس رومل و توینسن، ۱۹۸۸؛ مارتی و همکاران، ۲۰۰۲؛ دنیس و فلدرستون، ۲۰۰۲؛ اردلان و همکاران، ۲۰۰۲؛ لمن، ۲۰۰۰؛ اکمن، ۱۹۸۹ و ۱۹۹۹؛ سانچز، ۲۰۰۲؛ بلاسبرامانیا، ۱۹۹۴؛ بوشا و همکاران، ۲۰۰۲؛ دروس و همکاران، ۱۹۹۹؛ مارتی، ۲۰۰۲؛ رپ و بلاسبرامانیا، ۱۹۹۲؛ میلر و همکاران، ۱۹۹۹؛ سانچز، ۲۰۰۸؛ ژانگ و همکاران، ۲۰۰۹؛ گاتی و همکاران، ۲۰۱۳؛ سانسو و ونوتی، ۲۰۰۲؛ بوشا و همکاران، ۲۰۰۴؛ فلدرستون و همکاران، ۲۰۱۱).

یکی از روش‌های مرسوم برای یکسان‌سازی ارتفاعی، اندازه‌گیری اختلاف پتانسیل به روش ترازیابی دقیق و گرانی‌سنگی است که دارای دقت زیادی است. این روش چنانچه دو شبکه ارتفاعی با دریا از هم جدا شده باشند قابل کاربرد نخواهد بود (ژانگ و همکاران، ۲۰۰۹). البته روش حل این مشکل، ترازیابی اقیانوسی است که دارای دقت کمی است (ژانگ و همکاران، ۲۰۰۹).

ارتفاع از سطح بیضوی کمیتی هندسی است و نمی‌تواند نیاز ارتفاعی طرح‌های اجرایی را تأمین کند. بدین خاطر و به منظور تعیین مؤلفه ارتفاعی موردنیاز، به منزله کمیت مرتبط با هندسه و میدان گرانی زمین، از دیرباز از ترازیابی و گرانی‌سنگی استفاده شده است. سطح مبنای سامانه ارتفاعی فیزیکی، ژئوئید است. اما سامانه‌های ارتفاعی منطقه‌ای و محلی به ژئوئید ارجاع داده نمی‌شوند. این ارتفاعات نسبت به سطح متوسط دریا به دست آمده از مشاهدات کشند ناماها در یک بازه زمانی محدود و با منطبق فرض کردن سطح متوسط دریا با ژئوئید، بیان می‌شود (اردلان و صفری، ۲۰۰۵). اگرچه سطح متوسط دریا تقریب خوبی از ژئوئید است اما به طور دقیق بر سطح ژئوئید منطبق نیست (شکل ۱). از طرف دیگر با توجه به تغییرات سطح متوسط دریا از منطقه‌ای به منطقه دیگر، سامانه‌های ارتفاعی منطقه‌ای و محلی گوناگون را نمی‌توان در یک سامانه ارتفاعی واحد بیان کرد. برای آوردن نمونه‌ای از این وضعیت می‌توان به کشورهای با گستره آبی وسیع و جزایر زیاد دارای سطوح مبنای ارتفاعی متفاوت اشاره کرد. با این حال با تعیین وضعیت صفر ارتفاعی نسبت به ژئوئید در هر سامانه ارتفاعی مجزا امکان یکسان‌سازی شبکه‌های ارتفاعی متفاوت فراهم خواهد شد.



شکل ۱. نشانه ارتفاعی (بنج مارک) مبنای، ایستگاه دائمی پیمانه کشندی مبنای، سطح مبنای ارتفاعی ملی، ارتفاع ارتومنتریک اندازه‌گیری شده، ژئوئید و بیضوی مبنای.

پایه شعاعی کروی عرضه شده است. داده مرزی مورد استفاده در این تحقیق شتاب گرانش حاصل از گرانی‌سنگی است. روش عرضه شده مراحل اساسی این تحقیق را می‌توان به صورت زیر خلاصه کرد:

۱. تعیین مختصات دقیق نشانه ارتفاعی مبنای با استفاده از سامانه موقعیت یاب جهانی GPS
۲. استفاده از ارتفاع ژئودتیک نشانه ارتفاعی مبنای و ارتفاع ارтомتریک این نقطه در تعیین ارتفاع ژئوئید در نشانه ارتفاعی مبنای
۳. استفاده از مدل‌های ژئوبتانسیلی جهانی و تابع‌های پایه شعاعی به منظور مدل‌سازی میدان گرانی با جزئیات محلی
۴. تعیین ارتفاع شبکه ژئوئید با استفاده از بی‌هنگاری پتانسیل تولید شده در نشانه ارتفاعی مبنای و تبدیل آن به ارتفاع ژئوئید
۵. تعیین صفر ارتفاعی شبکه ترازیابی با مقایسه ارتفاع ژئودتیک حاصل از روش مستقیم و ارتفاع ژئوئید حاصل از مدل‌سازی محلی

ابتدا در بخش دوم این مقاله مدل‌سازی محلی میدان گرانی زمین با استفاده از تابع‌های پایه شعاعی کروی بیان می‌شود. در بخش سوم از این مقاله کارایی روش عرضه شده با استفاده از داده‌های مرزی شتاب گرانی و ژئوئید حاصل از ارتفاع‌سنگی ماهواره‌ای نشان داده شده است. بخش چهارم نیز به نتیجه‌گیری اختصاص دارد.

۲ مدل‌سازی محلی میدان گرانی با استفاده از تابع‌های پایه شعاعی

براساس تئوری رونگه بی‌هنگاری پتانسیل T در فضای خارج از زمین را می‌توان به سری تابع‌های غیرمعتمد Ψ به صورت رابطه (۱) بسط داد (مارچنکو، ۱۹۹۸).

$$T(P) = \sum_{i=1}^{\infty} \alpha_i \Phi_i(P) \quad (1)$$

در رابطه (۱)، α_i ها ضرایب بسط (ضرایب مقیاس) هستند. R شعاع کره بیره‌amar است که به‌طور کامل در

دسته مهم دیگر از روش‌ها برای تعیین صفر ارتفاعی و یکسان‌سازی ارتفاعی بر مبنای حل مسائل مقدار مرزی ژئودتیک است. از جمله کارهای صورت گرفته می‌توان (رومئل و توینسن، ۱۹۸۸؛ هک و رومئل، ۱۹۹۰؛ سو و رومئل، ۱۹۹۱؛ اردلان و صفری، ۲۰۰۵ و ژانگ و همکاران، ۲۰۰۹). بنا به تحقیقات اردلان و صفری (۲۰۰۵) وضعیت صفر ارتفاعی شبکه ترازیابی ایران نسبت به ژئوئید محاسبه شد. برای تعیین صفر ارتفاعی در شبکه ایران از داده‌های شتاب گرانش و ارتفاع ژئوئید حاصل از ارتفاع‌سنگی استفاده شده و پس از حل یک مسئله مقدار مرزی گرانی‌سنگی-ارتفاع‌سنگی ماهواره‌ای وضعیت صفر ارتفاعی در ایران تعیین شد. محاسبات صورت گرفته اردلان و صفری (۲۰۰۵) نشان می‌دهد که سطح هم‌پتانسیل در محل نقطه مبنای شبکه ارتفاعی ایران ۹/۴ سانتی‌متر در زیر ژئوئید قرار دارد. روش ژانگ و همکاران (۲۰۰۹) مبتنی بر حل مسئله گرانی‌سنگی با مرز معلوم خطی شده با استفاده از انتگرال هوتبین است.

از طرف دیگر، مدل‌سازی میدان گرانی زمین با استفاده از تابع‌های پایه شعاعی کروی گسترش زیادی پیدا کرده است. از جمله کارهای صورت گرفته برای مدل‌سازی محلی میدان گرانی بر مبنای استفاده از تابع‌های پایه شعاعی کروی، می‌توان به کارهای (بیره‌amar، ۱۹۷۶؛ سانکل، ۱۹۸۱؛ ورمیر، ۱۹۸۲، ۱۹۸۳، ۱۹۸۴، ۱۹۹۵؛ فریدن و روتر، ۱۹۸۳؛ شرنینگ، ۱۹۸۶؛ بالهای و همکاران، ۱۹۸۶؛ فریدن و همکاران، ۱۹۹۷؛ مارچنکو، ۱۹۹۸؛ هولشنایدر و همکاران، ۱۹۹۸؛ مارچنکو و همکاران، ۲۰۰۱؛ فریدن و همکاران، ۲۰۰۳؛ ایکر و همکاران، ۲۰۰۴؛ اشمیت و همکاران، ۲۰۰۴؛ چمبودوت و همکاران، ۲۰۰۵؛ کلیس و ویتور، ۲۰۰۷؛ صفری و همکاران، ۱۳۹۲؛ صفری و همکاران، ۲۰۱۳) اشاره کرد. بر این اساس در این تحقیق روشی جدید برای تعیین صفر ارتفاعی بر مبنای مدل‌سازی محلی میدان گرانی زمین با استفاده از تابع‌های

● موقعیت قرارگیری تابع‌ها، موقعیت مسطحاتی: نحوه قرارگیری اولیه تابع‌های پایه کروی، به طور معمول در یک شبکه منظم است، تراکم تابع‌ها در این شبکه با توجه به تعداد آنها و نیز نوع داده‌های ورودی تعیین می‌شود، از آنجا که ممکن است شبکه‌های متفاوت با تراکم متفاوت، تقریب خوبی از داده‌های ورودی به دست دهنده، اما نمایش واقعی از میدان گرانی زمین نباشد، تعداد تابع‌های پایه و تراکم اولیه شبکه موقعیت آنها باید با توجه به انحراف معیار نقاط کنترل مستقل از مشاهدات تعیین شود. در غیر این صورت تابع‌های پایه می‌توانند مدل مناسبی از داده‌های ورودی نمایش دهنده، موقعیت تابع‌های پایه در شبکه اولیه، در فرایند مدل‌سازی با الگوریتم موردنظر، برای مدل‌سازی بهینه تغییر خواهد کرد. پارامتر موقعیت مسطحاتی هسته در قالب طول و عرض جغرافیایی در پارامتر α در رابطه (۲) نهفته است.

● پارامتر شکل یا عمق، موقعیت ارتفاعی (Shape parameter)، عمق فرورفتگی تابع‌های پایه در کره بیره‌amar که در شبکه اولیه آنها، قرار گرفته‌اند، حساس‌ترین پارامتر مدل‌سازی میدان گرانی است، به‌نحوی که اگر مقدار نامناسبی برای مقادیر اولیه آن در نظر گرفته شود، به هیچ عنوان به مدل مناسبی نخواهیم رسید. عمق تابع‌های پایه، تابعی از تعداد و نیز تراکم شبکه اولیه است، هرچه شبکه متراکمتر باشد تابع‌ها باید در عمق کمتری قرار گیرند و برعکس؛ اما همان‌طور که در بالا اشاره شد، این نکته که نحوه قرارگیری این تابع‌ها باید به گونه‌ای باشد که تقریب مناسبی از میدان گرانی زمین باشد و نه صرفاً داده‌های ورودی (بهینگی محلی)، باید در تعیین عمق آنها در نظر گرفته شود. پارامتر موقعیت ارتفاعی هسته نیز به صورت $d - R$ بیان می‌شود، که میزان عمق فرورفتگی در R است که تحت عنوان α در رابطه (۲) نهفته است.

● پارامتر ضریب و یا مقیاس (Scale parameter): مقیاس

داخل توپوگرافی زمین قرار دارد. دسته تابع‌های Φ_n ، تابع‌های پایه شعاعی کروی هستند که دارای نمایشی به‌شکل رابطه (۲) هستند:

$$\Phi(x, y) = \sum_{k=0}^{\infty} \frac{2k+1}{4\pi R^2} \psi_i \left(\frac{R}{|x|} \right)^{k+1} P_k \left(\frac{x}{|x|}, \frac{y}{|y|} \right) \quad (2)$$

که در آن، ψ ضرایب لژاندر و P_k چندجمله‌ای‌های لژاندر تا درجه k ، $y \in \sigma_B^{\text{int}}$ ، $x \in \overline{\sigma_B^{\text{ext}}}$ (فضای داخلی کره بیره‌amar) و (فضای خارجی کره بیره‌amar) است. در جدول ۱ مثال‌هایی از تابع‌های پایه شعاعی کروی با ضرایب لژاندر آنها عرضه شده است (کلیس و همکاران، ۲۰۰۸).

هسته‌های معرفی شده در جدول ۱، به منزله تابع‌های پایه، در مدل‌سازی میدان گرانی رفتار متفاوتی دارند. هر کدام از این هسته‌ها با درجات متفاوت، قابلیت سازگاری با داده‌های محلی میدان گرانی را دارند، با این تفاوت که برخی می‌توانند با توجه به نوعشان با تعداد کمتر و یا در عمق‌های گوناگون، داده‌های با نوع متفاوت را تقریب بزنند. هسته‌های تابع‌های پایه معمولاً دارای صورت تحلیلی نیز هستند که برای محاسبات ریاضی صورت مناسب‌تری اند (برای مطالعه بیشتر در این زمینه به ویتور (۲۰۰۷) مراجعه شود).

پارامترهای تابع‌های پایه کروی نقشی اساسی در سازگاری آنها با داده‌های میدان گرانی دارند. این پارامترها عبارت‌انداز:

● تعداد تابع‌ها: تعداد تابع‌های پایه در مدل‌سازی میدان گرانی تابعی از تعداد مشاهدات و نوع آنها هستند؛ به طوری که برای تقریب داده‌های بی‌هنجاری گرانش، به تنهایی، در مقایسه با مدل‌سازی بی‌هنجاری پتانسیل، تعداد بیشتری از تابع‌های پایه مورد نیاز است، و نیز برای تقریب ترکیبی از داده‌های جاذبی و پتانسیل، برای دستیابی به دقت مورد نیاز، تابع‌های پایه بیشتری باید در شبکه اولیه قرار گیرند.

می‌تواند توان تابع‌های پایه را برای همه خاصیت‌های محلی داده‌ها کمتر کند. لذا همان‌طور که در بالا اشاره شد، پارامترهای تابع‌های پایه باید به درستی و متناسب با یکدیگر تعیین شوند. بدین منظور می‌توان از راه آزمون و خطا عمل کرد و یا اینکه با یک فرایند تکراری، بهترین مکان و عمق را متناسب با داده‌ها تعیین کرد (بهنحوی که در حالت بهینگی محلی قرار نگیریم). در حالت دقیق‌تر می‌توان رابطه این تناسب را به دست آورد و پارامترهای مجھول تابع‌های پایه را تعیین کرد (کلیس و ویتور، ۲۰۰۷).

ارتباط بین بی‌هنجری پتانسیل T و سایر تابع‌های میدان گرانی نظیر بی‌هنجری گرانش و نوسان گرانش به صورت روابط (۳) و (۴) بیان می‌شود (کلیس و همکاران، ۲۰۰۸):

$$\Delta g = -\frac{2}{r}T - \frac{\partial T}{\partial r} \quad (3)$$

$$\delta g = -\frac{\partial T}{\partial r} \quad (4)$$

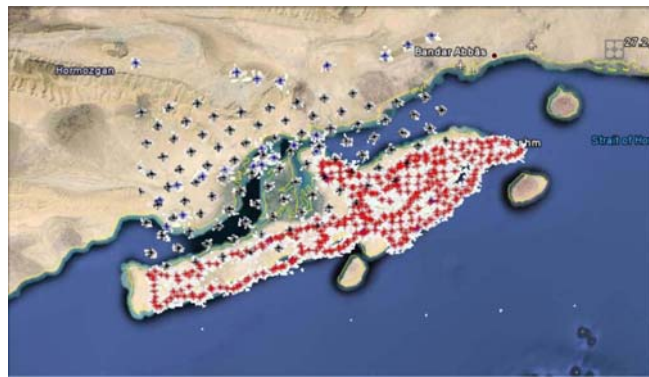
تابع‌های پایه ضریبی است که مستقل از موقعیت قرارگیری تابع‌های پایه در الگوریتم مدل‌سازی تعیین می‌شود، پس از تعیین بهینه شبکه و عمق اولیه تابع‌های، در طول فرایند مدل‌سازی ضرایب این تابع‌ها نیز برای تقریب بهینه تغییر خواهد کرد. پارامتر ضریب به صورت α در رابطه (۱) بیان شده است.

گاهی پارامتر شکل و موقعیت با هم در قالب یک پارامتر سه‌بعدی مجھول برای تابع‌های پایه در نظر گرفته می‌شوند، اما از آنجا که پارامتر شکل نقش بسیار مهم و حساسی در انطباق داده‌ها به تابع‌های پایه دارد، در اینجا این پارامتر به منزله یک پارامتر مجھول مجزا در نظر گرفته می‌شود.

همان‌طور که در بالا اشاره شد، برای تقریب بهتر داده‌ها، باید موقعیت هسته با عمق آنها متناسب باشد، در غیر این صورت نتیجه مناسبی از تقریب به دست نخواهد آمد؛ چرا که نزدیکی بیش از حد تابع‌های به یکدیگر با عمق زیاد موجب بر هم خوردن شرط تعاملد برای ترکیب تابع‌های می‌شود، و فاصله زیاد تابع‌های پایه با عمق کم

جدول ۱. مثال‌هایی از تابع‌های پایه شعاعی کروی قابل استفاده در مدل‌سازی میدان گرانی.

ضرایب لزاندر	صورت تحلیلی	هسته
$\psi_l = \frac{4\pi R}{2l+1}\lambda^l, \quad \lambda = \frac{ y }{R}$	$\Phi(x, y) = \frac{1}{ x-y }$	حزم نقطه‌ای
$\psi_l = \begin{cases} \left(\frac{1}{m}\right)^{\frac{\lambda^{l-m}}{2l+1}} & l \geq m \\ 0 & l < m \end{cases}, \quad \lambda = \frac{ y }{R}$	$\Phi(x, y) = \frac{1}{m!} \left(\frac{\partial}{\partial y }\right)^m \frac{1}{ x-y }$	چندقطبی شعاعی از مرتبه m
$\psi_l = l^m \lambda^l, \lambda = \frac{ y }{R}$	$\Phi(x, y) = \frac{1}{4\pi R^2} (2\chi_{m+1} + \chi_m)$ $\chi_m = \left(\frac{\partial}{\partial y }\right)^m \frac{1}{ x-y }$	ویولت پواسون از مرتبه m
$\psi_l = \begin{cases} \frac{4\pi R^3}{l-1} & l \geq 2 \\ 0 & l=0,1 \\ \lambda^l & \end{cases}$	$\Phi(x, y) = \frac{1}{4\pi R} \frac{ x ^2 - y ^2}{ x-y ^3}$	پواسون



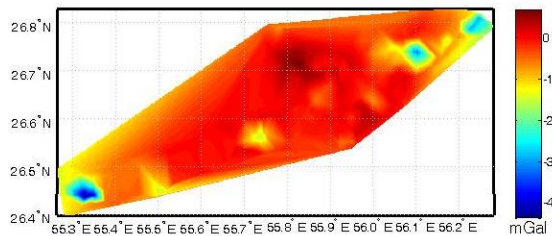
شکل ۲. پراکندگی داده‌های موجود در منطقه جزیره قشم.

نظر است.

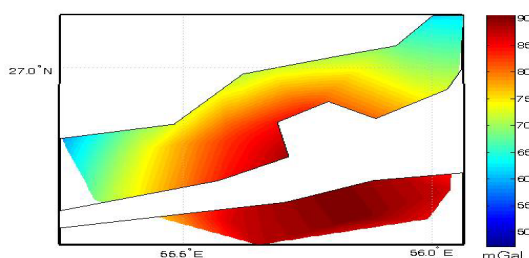
برای به دست آوردن بی‌هنگاری گرانش باقیمانده، شتاب جاذبه نرمال براساس رابطه سومیگلیانا-پیزتی در این منطقه محاسبه و از داده‌ها حذف شد. سپس با توجه به اینکه هدف مدل‌سازی محلی میدان گرانی است، اثرات میدان جهانی با استفاده از ضرایب هم‌آهنگ‌های کروی EGM2008 تا درجه و مرتبه ۳۶۰ نیز از روی مشاهدات برداشته شد. شکل‌های ۳ و ۴ به ترتیب نشان‌دهنده بی‌هنگاری گرانش باقیمانده در جزیره قشم و بی‌هنگاری گرانش حاصل از داده‌های BGI است.

۳ بررسی موردی: تعیین وضعیت صفر ارتفاعی شبکه ارتفاعی درجه یک ایران

برای تعیین میدان گرانی در محدوده جزیره قشم، منطقه‌ای در محدوده $\lambda < 56.4$ و $\varphi < 27.4$ با ۳۴۷ مشاهده از نوع شتاب گرانی برگرفته از اطلاعات موجود در بانک جهانی گرانی BGI و مشاهدات حاصل از گرانی‌سنگی در جزیره قشم، و ۹۶ نقطه با اطلاعات بی‌هنگاری پتانسیل برگرفته از مشاهدات ارتفاع‌سنگی ماهواره‌ای انتخاب شد. شکل ۲ نشان‌دهنده پراکندگی نقاط مورد استفاده برای مدل‌سازی درمنطقه مورد



شکل ۳. نحوه تغییرات شتاب گرانش مشاهده شده در جزیره قشم.



شکل ۴. تغییرات بی‌هنگاری گرانش باقیمانده در منطقه جزیره قشم.

قرار گرفته است. این هسته را هولشنایدر و همکاران، ۲۰۰۳ معرفی کردند که با اصلاحی جزئی (استفاده از روش نرمال‌سازی و حذف ترم‌هایی از هسته) به شکل زیر تغییر یافت (کلیس و همکاران، ۲۰۰۸):

$$\psi_l = \frac{2l+1}{4\pi R^3} l^n |y|^l \quad (5)$$

در این رابطه $|y|$ فاصله شعاعی و n مرتبه آن به منزله یک پارامتر آزاد معرفی می‌شود. صورت تحلیلی این هسته به صورت روابط (۶) و (۷) است (کلیس و همکاران، ۲۰۰۸):

$$\Psi(x, y) = \frac{1}{4\pi R^2} (2\chi_{n+1} + \chi_n) \quad (6)$$

$$\chi_n = \left(|y| \frac{\partial}{\partial |y|} \right)^n \frac{1}{|x-y|} \quad (7)$$

همچنین کلیس نشان داد که تابع χ_n را به صورت رابطه بازگشتی (۸) نیز می‌توان نوشت:

$$\begin{aligned} \chi_n &= 2|y|^{n+1} b_{n+1} + \sum_{i=1}^n \beta_{n,i} |y|^i b_i \\ \chi_0 &= 2|y| b_1 + b_0 \\ b_n &= (2n-1) |x-y| b_1 b_{n-1} - (n-1)^2 b_0^2 b_{n-2} \\ b_0 &= \frac{1}{|x-y|}, b_1 = \frac{|y|-|x|\cos\vartheta}{|x-y|^3} \end{aligned} \quad (8)$$

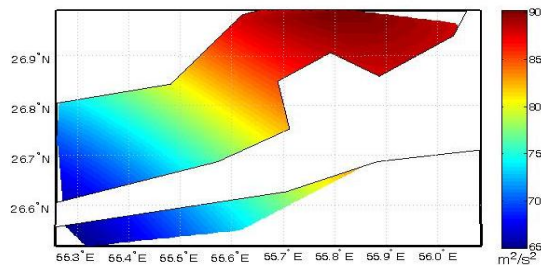
که در آن ϑ زاویه بین x و y بوده و $\beta_{3,1} = 3, \beta_{3,2} = 17, \beta_{3,3} = 13$. به منظور انتخاب بهینه تعداد تابع‌های پایه کروی و نیز مراکز آنها، شبکه‌های منظم متفاوت با تراکم متفاوت به منزله موقعیت اولیه تابع‌های پایه در نظر گرفته شد، و سپس با الگوریتم پایدارسازی غیر خطی لونبرگ-مارکواردت، انحراف معیار نقاط کنترل پتانسیل در این شبکه‌ها تعیین، و شبکه با کمترین انحراف معیار به منزله شبکه بهینه در نظر گرفته شد. این شبکه دارای ۴۹ تابع پایه است و مراکز اولیه این تابع‌های به طور منظم در منطقه مورد بررسی قرار گرفته‌اند. جدول ۱ و شکل ۶ نحوه انتخاب شبکه بهینه نقاط را با توجه به انحراف معیار به دست آمده نشان می‌دهد.

مشاهدات دسته دوم که برای مدل‌سازی در این منطقه در نظر گرفته شد، بی‌هنجری پتانسیل حاصل از ارتفاع‌سنگی ماهواره‌ای است. محاسبه بی‌هنجری پتانسیل با استفاده از ژئویید دریایی، که حاصل اختلاف بین سطح متوسط دریا (MSL) و توپوگرافی سطح دریا (SST) است و به کارگیری عکس فرمول برونز میسر است. سطح متوسط دریا از مشاهدات ماهواره‌های Geosat و ERS-1، TOPEX/POSEIDON و CSRMSS95 (کیم و همکاران، ۱۹۹۵) برای محاسبه توپوگرافی سطح دریا در سواحل و آب‌های Global Parallel Ocean اطراف جزیره قشم نیز از مدل POCM-4B (Circulation Model) است (مدل از راه مشاهدات روزانه میدان استرس باد این مدل از راه مشاهدات ماهانه جریانات گرمایی (Wind stress field) و مشاهدات ماهانه سطح دریا در سواحل و آب‌های Mean sea surface heat) از سال ۱۹۸۷ تا ۱۹۹۴ به دست آمده است (استامر و همکاران، ۱۹۹۶). در این دسته از مشاهدات نیز به منظور محلی‌سازی، بی‌هنجری پتانسیل حاصل از بسط هم‌آهنگ‌های کروی EGM2008 تا درجه و مرتبه ۳۶۰ از مشاهدات حذف شده است. بی‌هنجری پتانسیل تفاضلی پس از حذف اثرات میدان جهانی از روی مقادیر بی‌هنجری پتانسیل حاصل از ارتفاع‌سنگی ماهواره‌ای در منطقه مورد بررسی در شکل ۵ آورده شده است.

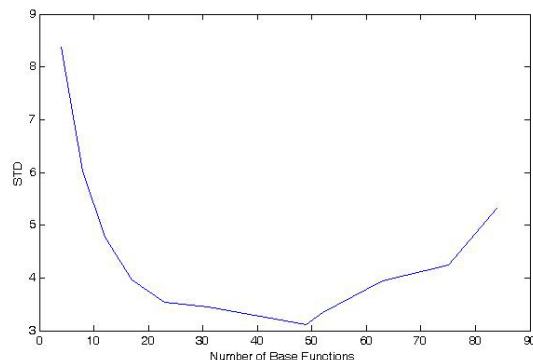
برای کنترل مستقل نتایج مدل‌سازی، حدود ۵٪ از نقاط بی‌هنجری پتانسیل (۵ نقطه) در حکم نقاط کنترل در نظر گرفته و این نقاط از فهرست مشاهدات حذف شدند. در هر مرحله انحراف معیار باقی‌مانده این نقاط در حکم معیار مدل‌سازی بهینه مورد استفاده قرار گرفت.

هسته ویولت پواسون، به منزله هسته‌ای که قابلیت سازگاری بیشتری با داده‌های از جنس گوناگون را دارد (کلیس و همکاران، ۲۰۰۸)، در این تحقیق مورد استفاده

تابع‌های پایه کروی پس از افزودن اثر جرم‌های جهانی به مقادیر بی‌هنگاری پتانسیل تفاضلی است.



شکل ۵. نمایش تغییرات بی‌هنگاری پتانسیل باقی‌مانده در محدوده موردنظر.



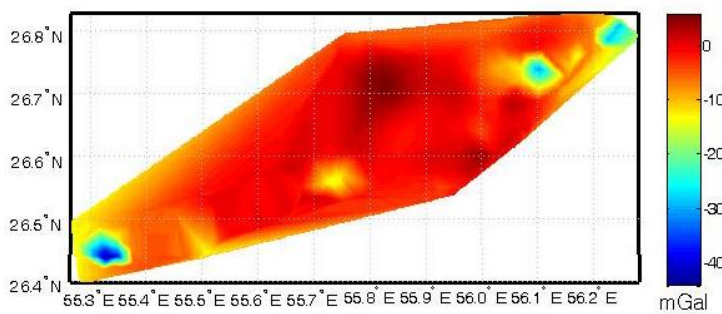
شکل ۶. نحوه تغییرات انحراف معیار در برابر تعداد و تراکم شبکه اولیه تابع‌های پایه.

به‌منظور گریز از اثر لبه‌ها در این منطقه، از هر طرف ۱۰ درجه به سمت داخل منطقه، از نمایش بی‌هنگاری‌ها حذف شد. در این مقاله از هسته ویولت پواسون به منزله تابع پایه برای مدل‌سازی، و از الگوریتم لوبرگ مارکواردت برای تعیین بهینه مکان، عمق و ضرایب این تابع‌های استفاده شده است. معیار توقف در این الگوریتم دستیابی به انحراف معیار 0.7 mGal برای نقاط کنترل پتانسیل در شتاب گرانش و $0.3 \text{ m}^2/\text{s}^2$ برای نقاط کنترل پتانسیل در نظر گرفته شد، و درنهایت پس از ۱۳۴۶ تکرار، الگوریتم متوقف و بی‌هنگاری پتانسیل در منطقه مورد بررسی برآورد شد. نکته اساسی در این مقاله استفاده هم‌زمان از همه این داده‌ها در یک پردازش و در مکان‌های گوناگون، و درنهایت برآورد بی‌هنگاری پتانسیل برای کل منطقه موردنظر است. بی‌هنگاری گرانش باقی‌مانده برآورد شده ویولت پواسون در شکل ۷ نمایش داده شده است.

شکل ۸ نشان‌دهنده تغییرات بی‌هنگاری پتانسیل باقی‌مانده تولید شده در منطقه مورد بررسی، و درنهایت شکل ۹ نشان‌دهنده بی‌هنگاری پتانسیل برآورد شده از

جدول ۱. نحوه تغییرات انحراف معیار نقاط کنترل به‌منظور تعیین شیوه بهینه اولیه تابع‌های پایه شعاعی.

تعداد تابع	انحراف معیار
۴	۸/۳۷
۸	۷/۰۲
۱۲	۴/۷۷
۱۷	۳/۹۷
۲۳	۳/۰۳
۳۱	۳/۴۰
۴۹	۳/۱۲
۵۲	۳/۳۵
۵۶	۴/۵۱
۸۴	۷/۳۲
۱۳۲	۱۴/۹۳
۱۷۶	۲۴/۶۵
۲۳۴	۳۳/۴۵



شکل ۷. نمایش نحوه تغییرات بی‌هنگاری گرانش باقی‌مانده برآورد شده از تابع‌های پایه کروی.

حاصل شد. رابطه (۹) نشان‌دهنده فرمول برونز در میدان

مرجع سومیگلیانا-پیزتی است:

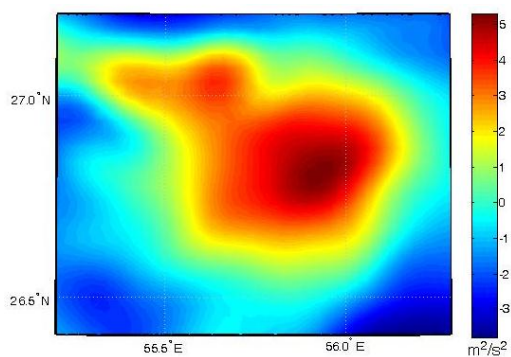
$$T = -\frac{\sqrt{b^2 + e^2}}{\sqrt{b^2 + e^2 \sin^2 \varphi}} \left[-\frac{GM}{b^2 + e^2} + \omega^2 b \cos^2 \varphi + \left(\frac{1}{6} \omega^2 a^2 (3 \sin^2 \varphi - 1) \left(\frac{6b}{e^2} \operatorname{arc cot} \left(\frac{b}{e} \right) - \frac{6b^2 + 4e^2}{e(b^2 + e^2)} \right) \right) N + \left(\frac{b^2}{e^2} + 1 \right) \operatorname{arc cot} \left(\frac{b}{e} \right) - 3 \frac{b}{e} \right] \quad (9)$$

در این رابطه a , b و e به ترتیب نیم قطر بزرگ، نیم قطر کوچک و خروج از مرکز خطی بیضوی مرجع مربوط به میدان مورد نظر، $G = 6.67384 \times 10^{-11} m^3 kg^{-1} s^{-2}$ ثابت جهانی گرانش (Universal Gravitational Constant)، $(GM = 3986004.415 \times 10^8 m^3 s^{-2})$ جرم زمین M ، $\omega = 7292115 \times 10^{-11} rad / sec$ سرعت زاویه‌ای دوران زمین و N ارتفاع ژئوئید است.

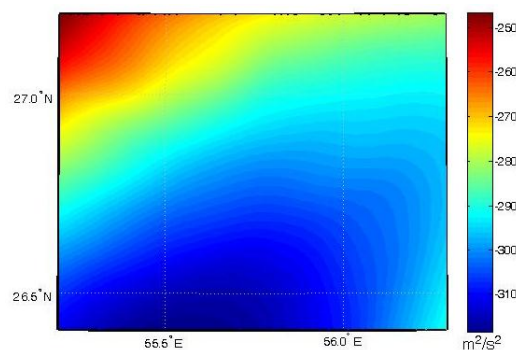
میزان اختلاف بین ارتفاع ژئوئید و شبه‌ژئوئید براساس رابطه زیر قابل محاسبه است (فرستون و کربای، ۱۹۹۸):

$$N - \zeta \approx \frac{\Delta g^B}{\gamma} H \quad (10)$$

که در این رابطه H ارتفاع ارتومنتریک، Δg^B بی‌هنجری بوگه و γ میدان نرمال سومیگلیانا-پیزتی محاسبه شده در این نقطه است. اختلاف بین ژئوئید و شبه‌ژئوئید در نقطه کنترل، براساس رابطه (۱۰) محاسبه و به مقدار بدست آمده برای شبه‌ژئوئید اضافه شد و ارتفاع ژئوئید در این نقطه محاسبه شد. مکان و مقادیر محاسبه شده برای نشانه ارتفاعی موردنظر در جدول ۲ آمده است:



شکل ۸. نمایش پراکندگی بی‌هنجری پتانسیل باقی‌مانده در منطقه مورد بررسی.



شکل ۹. بی‌هنجری پتانسیل برآورده شده توسط تابع‌های پایه کروی در سطح زمین در منطقه آزمون.

پس از مدل‌سازی میدان گرانشی در منطقه مورد نظر، از نشانه ارتفاعی ساحلی موجود در این منطقه برای محاسبه صفر ارتفاعی، استفاده شد. بدین‌منظور بی‌هنجری پتانسیل باقی‌مانده در این نشانه ارتفاعی با استفاده از تابع‌های پایه شعاعی بهینه به دست آمده، محاسبه و با استفاده از رابطه برونز در میدان مرجع سومیگلیانا-پیزتی (اردلان و گرافارند، ۲۰۰۱) ارتفاع شبه‌ژئوئید در این نقطه

جدول ۲. محاسبه صفر ارتفاعی در نشانه ارتفاعی ساحلی.

ارتفاع ژئوئید	اختلاف ارتفاع ژئوئید و شبه‌ژئوئید	ارتفاع شبه‌ژئوئید	بی‌هنجری پتانسیل	نقطه
-29.029	-0.0031	-29.026	-284.202	$\lambda = 56.1831, \varphi = 27.1658$

سواحل خلیج فارس، ۱۳۹۲، م. فیزیک زمین و فضا،
دوره ۳۹، شماره ۳، صفحه ۴۸-۳۳.

- Ardalan, A. A., Grafarend, E. W. and Kakkuri, J., 2002, National height datum, the Gauss-Listing geoid level value W_0 and its time variation W_0 , *J. Geodesy*, **76**, 1-28.
- Ardalan, A. A. and Safari, A., 2005, Global height datum unification: a new approach in gravity potential space, *J. Geod.*, **79**, 512-523.
- Balasubramania, N., 1994, Definition and realization of a global vertical datum, Report No. 427, Department of Geodetic Science and Surveying, The Ohio State University, Columbus, USA, 112 pp.
- Bjerrhammar, A., 1976, A Dirac approach to physical geodesy, *Zeitschrift für Vermessungswesen (ZfV)*, **101**, 41-44.
- Blaha, G., Blessette, R. P. and Hadigigorge, G., 1986, Global point-mass adjustment of the oceanic geoid based on satellite altimetry, *Mar Geodesy*, **10**, 97-129.
- Burša, M., Kenyon, S., Kouba, J., Šíma, Z., Vatrt, V. and Vojtíšková, M., 2004, A global vertical reference frame based on four regional vertical datums, *Stud. Geophys. Geod.*, **48**(3), 493-502, doi:10.1023/b:s geg. 0000037468.48585.e6.
- Bursa, M., Kouba, J., Muller, A., Radej, K., True, S. A., Vatrt, V. and Vojtiskova, M., 2001, Determination of geopotential differences between local vertical datums and realization of a world height system. *Studia geoph. Et geod.*, **45**, 127-132.
- Burša, M., Kenyon, S., Kouba, J., Raděj, K., Vatrt, V., Vojtíšková, M. and Šimek, J., 2002a, World height system specified by Geopotential at tide gauge stations. IAG Symposium, Vertical Reference System, Cartagena, February 20-23, 2001, Colombia, Proceedings, Springer Vlg., 291-296.
- Chambodut, A., Panet, I., Mandea, M., Diament, M., Holschneider, M. and Jamet, O., 2005, Wavelet frames: an alternative to spherical harmonic representation of potential fields, *Geophysics, J. Int.*, **163**, 875-899.
- Dennis, M. L. and Featherstone, W. E., 2002, Evaluation of orthometric and related height systems using a simulated mountain gravity field, Proceedings of third meeting of the International Gravity and Geoid Commission, Thessaloniki, Greece, 26-30 August 2002.
- Drewes, H., Bosch, W., Kaniuth, K., Hernandez, J., N., Hoyer, M. and Wildermann, E., 1999, Realization of the vertical reference system in

۴ نتیجه‌گیری

در این مقاله پس از مدل‌سازی میدان گرانی در منطقه مورد بررسی با استفاده از تابع‌های پایه شعاعی، بی‌هنگاری پتانسیل در نشانه ارتفاعی ساحلی در منطقه بندرعباس محاسبه و با به کار گیری فرمول برونز، این مقدار به واحد ارتفاعی ۲۹۷/۰۲۹۷ متر برای ارتفاع ژئوئید در آن مختصات تبدیل شد. با استفاده از مختصات سه‌بعدی نشانه ارتفاعی مبنا و ارتفاع ارتومنتربیک، این نقطه و محاسبات صورت گرفته، صفر ارتفاعی ایران به میزان ۰/۲۱۶ متر زیر ژئوئید قرار دارد و لازم است این مقدار از همه ارتفاع‌های ارتومنتربیک محاسبه شده نسبت به صفر ارتفاعی موجود کم شود. این مقدار بنا به تحقیقات (اردلان و صفری، ۲۰۰۵) برابر با ۰/۰۹ متر زیر ژئوئید محاسبه شده است. اما مزایای روش مورد استفاده در تحقیق حال حاضر نسبت به تحقیقات پیشین عبارت‌انداز:

- ترکیب داده‌های شتاب گرانش و ارتفاع‌سنگی ماهواره‌ای
- محلی‌سازی داده‌های گرانی با حذف اثر جهانی میدان گرانی در منطقه موردنظر
- مدل‌سازی محلی میدان گرانی با استفاده از تابع‌های پایه شعاعی کروی بهینه
- برآورد بی‌هنگاری پتانسیل در منطقه و تعیین وضعیت صفر ارتفاعی

از آنجا که در این روش میزان اختلاف ارتفاع نقطه صفر ارتفاعی از ارتفاع ژئوئید تعیین می‌شود (تعیین وضعیت صفر ارتفاعی نسبت به ژئوئید)، می‌توان از آن به مثابه ابزاری برای یکسان‌سازی ارتفاعی در کل جهان استفاده کرد.

مراجع

- صفری، ع.، شریفی، م. ع. و فروغی، ا.، ۱۳۹۲، مدل‌سازی محلی میدان گرانی زمین با استفاده از تابع‌های پایه شعاعی، بررسی موردنی: مدل‌سازی میدان ثقل در

- DOI 10.1007/s00190-012-0574-3.
- Hipkin, R. G., 2002, Vertical datum defined by $Wo = Uo$: theory and practice of a modern height system. in: proceedings of third meeting of the International Gravity and Geoid Commission, Thessaloniki, Greece, 26-30.
- Holschneider, M., Chambodut, A. and Mandea, M., 2003, From global to regional analysis of the magnetic field on the sphere using wavelet frames, *Physical Earth Planet International*, **135**, 107-124.
- Kim, M. C., Tapley, B. D., Shum, C. K. and Ries, J. C., 1995, Center for space research mean sea surface model, presented at the TOPEX/POSEIDON working team meeting, Pasadena California.
- Klees, R., Tenzer, R., Prutkin, I. and Wittwer, T., 2008, A data driven approach to local gravity field modeling using spherical radial basis functions, *Journal of Geodesy*, **82**, 457-471.
- Klees, R. and Wittwer, T., 2007, Local gravity fieldmodeling with multi-pole wavelets, in P tregoning and C Rizos (eds), dynamic planet – monitoring and understanding a dynamic planet with Geodetic and Oceanographic tools, International Association of Geodesy Symposia, Springer Berlin Heidelberg, **130**, 303-308.
- Lehmann, R., 2000, Altimetry-gravimetry problems with free vertical datum, *J. Geodesy*, **74**(3-4), 327-334.
- Marchenko, A. N., 1998, Parameterization of the earth's gravity field, point and line singularities. Leviv Astronomical and Geodetic Society, ISBN 5-7763-4604-5.
- Marchenko, A. N., Barthelmes, F., Meyer, U. and Schwintzer, P., 2001, Regional geoid determination: an application to airplane gravity date in the Skagerrak, Scientific Technical Report, STR01/07, GFZ.
- Marti, U., 2002, Modelling of differences of height systems in Switzerland, Proceedings of third meeting of the International Gravity and Geoid Commission, Thessaloniki, Greece, August 26-30.
- Marti, U., Schlater, A., Brockmann, E. and Wiget, A., 2002, The way to a consistent national height system for Switzerland, proceedings of IAG symposium, vistas for geodesy in the new millennium, Budapest, Hungary, 2-7 September 2001, Springer Verlag, Berlin, **125**, 90-95.
- Miller, M. M., Johnson, D. J., Weldon, R. and Meertens, C., 1999, Differential vertical Venezuela, Poster, XXII IUGG Gen. Ass., Birmingham, U K, England.
- Eicker, A., Mayer-Gürr, T., and Ilk K. H, 2004, Global gravity field solutions from GRACE SST data and regional refinements by GOCE SGG observations, in: proceedings IAG international symposium gravity, geoid and space missions (GGSM2004), Porto, Portugal.
- Ekman, M., 1989, Impacts of geodynamic phenomena on systems for height and gravity, *Bull Geod*, **63**(3), 281-296.
- Ekman, M., 1999, Using mean sea surface topography for the determination of height system differences across the Baltic sea, *MarGeod*, **22**, 31-35.
- Featherstone, W. E., 1998, Do we need a gravimetric geoid or a model of the base of the Australian height datum to transform GPS heights, *Aust Surv*, **43**(4), 273-280.
- Featherstone, W. E., 2000, Towards unification of the Australian height datum between the Australian mainland and Tasmania using GPS and the AUSGeoid98 geoid model, *Geomat Res Australas*, **73**, 33-54.
- Featherstone, W. E., 2002, Prospects for the Australian height datum and geoid model, proceedings of IAG symposium, vistas for geodesy in the New Mllennium, 2-7 september 2001, Budapest, Hungary, Springer Verlag, Berlin, Germany, **125**, 96-101.
- Featherstone, W. E. and Kirby, J. F., 1998, Estimates of the separation between the geoid and quasi-geoid over Australia, *Geomatics Research Australasia*, **68**, 75-86.
- Featherstone, W. E., Kirby, J. F., Hirt, C., Filmer, M. S., Claessens, S. J., Brown, N. J., Hu, G. and Johnston, G. M., 2011, The AUSGeoid09 model of the Australian height datum, *J. Geod.*, 2011, **85**, 133-150, DOI 10.1007/s00190-010-0422-2.
- Freeden, W., Gervens, T., Schreiner, M., 1998, Constructive approximation on the sphere (with applications to geo mathematics), Oxford Science Publication, Oxford University Press, New York.
- Freeden, W. and Reuter, R., 1983, Spherical harmonic splines: theoretical and computational aspects, *Meth u Verf d Math Phys.*, **27**, 79-103.
- Freeden, W., Schreiner, M. and Franke, R., 1997, A survey on spherical spline approximation, *Surv Math Ind* **7**, 29-85.
- Gatti, A., Reguzzoni, M. and Venuti, G., 2013, The height datum problem and the role of satellite gravity models, *J. Geod.*, **87**, 15-22,

- Schmidt, M., Kusche, J., Loon, J., Shum, C. K., Han, S. C. and Fabert, O., 2005, Multi-resolution representation of regional gravity data, in: Jekeli, C., Bastos, L., Fernandes, J., (eds) Gravity, geoid and space missions., Springer, Berlin, 167-172.
- Schmidt, M., Fengler, M., Mayer-Gürr, T., Eicker, A., Kusche, J., Sanchez, L. and Han, S. C., 2007, Regional gravity modeling in terms of spherical base functions, *J Geod.*, **81**, 17-38.
- Stammer, D., Tokmakian, R., Semtner, A. and Wunsch, C., 1996, How well does a 1/4 global circulation model simulate large-scale ocean observation?, *Geophys. Res.*, **101**, 25779-25812.
- Sünkel, H., 1981, Point mass models and the anomalous gravitational field, Report 328, Department of Geodetic Sciences, Ohio State University, Columbus.
- Tscherning, C. C., 1986, Functional methods for gravity field approximation, in: Sünkel, H., (ed) Mathematical and numerical techniques in physical geodesy, Lecture Notes in earth sciences, Springer, Berlin, **7**, 3-47.
- Vermeer, M., 1982, The use of mass point models for describing the finnish gravity field, Proc. 9th meeting of the Nordic Geodetic Commission, Gävle, Sweden.
- Vermeer, M., 1983, A new SEASAT altimetric geoid for the Baltic, Finnish Geodetic Institute, Report 83:4, Helsinki.
- Vermeer, M., 1984, Geoid studies on Finland and the Baltic, Finnish Geodetic Institute, Report 84:3, Helsinki.
- Vermeer, M., 1995, Mass point geo potential modeling using fast spectral techniques; historical overview, toolbox description, numerical experiment, *Manuser Geod.*, **20**, 362-378.
- Wittwer, T., 2007, Regional gravity field modeling with radial basis functions, PhD thesis, Publications on Geodesy 72 ISBN: 978 90 6132 315 0 ISSN 0165 1706.
- Xu, P. and Rummel, R., 1991, A quality investigation of global vertical datum connection, Netherlands Geodetic Commission, Publications on Geodesy, New Series, Number 34.
- Zhang, L., Li, F., Chen, W. and Zhang, C., 2009, Height datum unification between Shenzhen and Hong Kong using the solution of the linearized fixed-gravimetric boundary value problem, *J. Geod.*, **83**, 411-417, DOI 10.1007/s00190-008-0234-9.
- motion estimation (DIVD): simultaneous GPS monitoring of crustal deformation and tidal gauge stability along the Cascadia convergent margin. Presented at AGU Spring 1999 Meeting, Boston, Mass., **31**, May-4 June 1999.
- Rapp, R. H., 1980, Precise definition of the geoid and its realization for vertical datum applications, in: proceedings of the 2nd International Symposium on Problems Related to the Redefinition of the North American Vertical Geodetic Networks. Ottawa, Canada, 73-86.
- Rapp, R. H., 1994, Separation between reference surfaces of selected vertical datums. *Bull. Geodes.*, **69**(1), 26-31.
- Rapp, R. H., 1995, A world vertical datum proposal, *Allg Verm Nachr*, **102**(Jg.Heft 8/9), 297-304.
- Rapp, R. H. and Balasubramania, N., 1992, A conceptual formulation of a world height system, Tech. Rep. 421, Department of Geodetic Science and Surveying. Ohio State University, Columbus.
- Rummel, R. and Teunissen, P., 1988, Height datum definition, height datum connection and the role of the geodetic boundary value problem, *Bulletin Géodésique*, **62**(4), 477-498.
- Safari, A., Sharifi, M. A., Amin, H., Foroughi, I. and Tenzer, R., 2013b, A new approach for the determination of the gravity gradient tensor using satellite altimetry observations, under review *Marine Geodesy*.
- Sanchez, L., 2002, A reference surface for the unified height system in the northern part of south America. proceedings of IAG symposium, vistas for geodesy in the New Millennium, 2-7 september 2001, Budapest, Hungary, Springer Verlag, Berlin, Germany, 125, 84-89.
- Sánchez, L., 2008, Approach for the establishment of a global vertical reference level. In: Xu P, Liu J, Dermanis A (eds) VI Hotine-Marussi symposium on theoretical and computational geodesy, IAG Symposia, Springer, Berlin, **132**, 119-125.
- Sansò, F. and Venuti, G., 2002, The height datum/geodetic datum problem, *Geophys. J. Int.*, **149**(3), 768-775.
- Schmidt, M., Fabert, O., Shum, C. K. and Han, S. C., 2004, Gravity field determination using multiresolution techniques, Proceedings 2nd International GOCE User workshop, ESA-ESRIN, Frascati.